

잡음이 존재하는 선형 시스템에서의 센서 고장감지에 대한 연구
 (A Study on the Sensor Failure Detection and Diagnosis in the Stochastic system)

손성한 전 기준
 (S. H. Son, G. J. Geon)

경북대학교 공과대학 전자공학과
 (Kyung Pook National Univ., Dept. of Elec. Eng.)

Abstract

In the paper a failure detection and diagnosis method of a stochastic system is proposed. It is based on the comparison of the moving averages generated from outputs of the real plant and a modeled normal plant. The proposed method allows us to locate the failed sensor and can be efficiently used for the failure detection and diagnosis of a plant with many sensors

1. 서론

다이나믹 시스템에서 고장의 감지와 진단(fault detection and diagnosis)은 제어의 실행에 매우 중요한 일중에 하나이다. 이는 초기 고장의 감지가 주공정의 파손이나 정지를 피할 수 있게 해주고, 또한 많은 물질적 피해 심지어는 인명 손상도 막을 수 있게 해주기 때문이다.

일반적으로 잡음이 존재하는 시스템에서는 칼만 필터를 이용하여 실제공정의 출력값과 칼만 필터 출력값의 비교로써 구한 여분(residual)을 분석하여 센서의 고장을 감지하여 왔다. 이 방법은 센서의 고장을 감지할 수 있으나, 어느 센서가 고장인지 정확히 알 수는 없다. 이러한 문제는 센서 수가 증가할 때 더욱 심각한 문제이다. 그래서 본 논문에서는 공정의 정상적인 출력값을 정의하고 이 값의 이동평균(moving average)을 실제공정의 출력값 이동평균과 비교하므로써 고장난 센서를 정확히 판별할 수 있는 방법을 제안하였다.

논문의 구성은 2장에서 센서 고장의 감지방법과 문제점에 대해 알아보고, 3장에서는 고장난 센서의 판별법을 제안하였고, 4장에서는 시뮬레이션 결과를 제시했으며 마지막으로 5장에서 결론을 적었다.

2. 센서 고장의 감지와 문제점

n차 시불변 선형 이산시간 스토캐스틱 시스템을 다음과 같이 정의한다.

$$x(t_i) = Ax(t_{i-1}) + Bu(t_{i-1}) + Gw(t_i) \quad (1)$$

$$z(t_i) = Hx(t_i) + v(t_i) \quad (2)$$

여기서 $x(t_i)$ 는 n차원의 상태벡터, $u(t_i)$ 는 m차원의 입력벡터, $z(t_i)$ 는 g차원의 출력벡터이다. 그리고 $w(t_i)$ 는 n차원의 가우스 백색 잡음벡터이고, $v(t_i)$ 는 g차원의 가우스 백색 잡음벡터이다. 각각은 평균이 영이고 공분산 행렬은

$$E[W(t_i)W^T(t_j)] = \begin{cases} Q_d(t_i) & t_i = t_j \\ 0 & t_i \neq t_j \end{cases}$$

$$E[V(t_i)V^T(t_j)] = \begin{cases} R(t_i) & t_i = t_j \\ 0 & t_i \neq t_j \end{cases}$$

이다.

칼만 필터를 이용하여 시스템의 상태변수를 2단계로 추정하는 과정을 보면 1단계에서는 상태변수의 예측 추정치 $\hat{x}(t_i^-)$ 는

$$\hat{x}(t_i^-) = A\hat{x}(t_{i-1}^+) + Bu(t_{i-1}) \quad (3)$$

와 같이 계산하며 이때 예측에러(prediction error) $\tilde{x}(t_i^-) = x(t_i) - \hat{x}(t_i^-)$ 의 공분산 행렬 $P(t_i^-)$ 는

$$P(t_i^-) = AP(t_{i-1}^+)A^T + GQG^T \quad (4)$$

와 같다.

2단계로 시스템의 상태변수 추정치 $\hat{x}(t_i^+)$ 를 계산하면

$$\hat{x}(t_i^+) = \hat{x}(t_i^-) + K(t_i)(z(t_i) - H\hat{x}(t_i^-)) \quad (5)$$

와 같고 추정에러(estimation error)의 공분산 행렬 $P(t_i^+)$ 는

$$P(t_i^+) = P(t_i^-) - K(t_i)HP(t_i^-) \quad (6)$$

이고, 필터이득 $K(t_i)$ 는

$$K(t_i) = P(t_i^-)H^T[HP(t_i^-)H^T + R]^{-1} \quad (7)$$

이다.

한편, 여분(residual)은 $t_i \in T$ 에서 다음과 같이 정의된다.

$$r(t_i) = z(t_i) - H\hat{x}(t_i^-) \quad (8)$$

여기에서 $r(t_i)$ 는 측정값 $z(t_i)$ 에 예측값의 차이를 의미한다.

다음으로 예측에러의 평균과 공분산 행렬을 계산해

보면

$$\begin{aligned} e(t_i) &= x(t_i) - \hat{x}(t_i) \\ E[e(t_i)] &= 0 \\ E[e(t_i)e^T(t_i)] &= P(t_i) \end{aligned} \quad (9)$$

이다. 만약 (8)식에서 센서의 고장이 존재하지 않는다면

$$E[r(t_i)] = 0 \quad (10)$$

$$\begin{aligned} E[r(t_i)r^T(t_i)] &= E[(z - H\hat{x}(t_i))(z - H\hat{x}(t_i))^T] \\ &= HP(t_i)H^T + R \end{aligned} \quad (11)$$

를 얻을 수 있다.

(11)식에서 $r(t_i)$ 값의 공분산이 $\sum^2 = HP(t_i)H^T + R$ 이므로 여분벡터 $r(t_i)$ 의 각 성분값의 약 68%는 σ 범위에, 약 95%는 2σ 범위에 존재하게 된다. 그러나 $r(t_i)$ 이 연속적으로 이 범위를 벗어나면 센서에 고장이 생겼다고 감지하여도 무방하다. (그림 1참조)

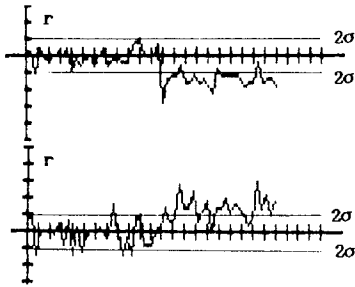


그림 1. 여분을 이용한 센서 고장감지

그러나 이 방법은 센서가 여러개 존재할 때 즉

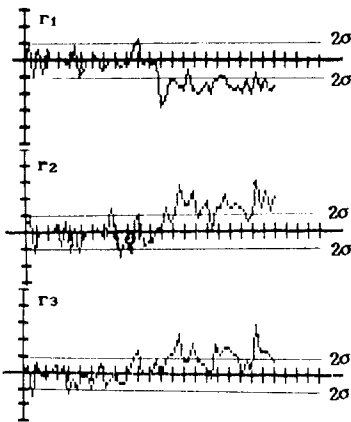


그림 2. z_i 의 값이 잘못 측정 되었을 경우

그림 2와 같이 하나의 센서가 고장이 났음에도 불구하고 모든 $r(t_i)$ 가 2σ 의 범위를 벗어나고 있어 어느 센서가 고장인지 알 수가 없다. 이는 고장난 센서로부터 얻은 측정치가 칼만 필터에서 추정되는 모든 상태변수에 영향을 미쳐, 칼만 필터의 출력값 전부를 변화 시킴으로써 실제공정 값과 모두 다르게 되기 때문이다.

3. 고장센서의 판별

(1), (2)식에서 잡음을 제거한 정상적인 이산시간 시스템은 다음과 같다.

$$x(t_i) = Ax(t_{i-1}) + Bu(t_{i-1}) \quad (12)$$

$$y(t_i) = Hx(t_i) \quad (13)$$

여기에서 시스템의 극점(pole)이 단위원 근처에 존재할 때 초기값에 따라서는 정상상태로의 수렴속도가 매우 느릴 수도 있을 것이다. 이 점을 보완하기 위해 관측기(observer)를 구성하면

$$x^*(t_i) = (A-LC)x^*(t_{i-1}) + Ly(t_{i-1}) + Bu^*(t_{i-1}) \quad (14)$$

와 같다. 다음으로 (14)식의 추정값을 이용하여 정상적인 공정의 출력값을 얻으면

$$z^*(t_i) = Hx^*(t_i) \quad (15)$$

이고, 여기서 k 크기의 창(window)을 가진 이동평균(moving average)을 정의하면

$$\bar{z}(t_i) = (1/k) \sum_{j=0}^{k-1} z(t_{i-j}), \quad i > k-1 \quad (16)$$

와 같고, (16)식을 사용하여 (15)식의 양변에 이동평균을 취하면

$$\bar{z}^*(t_i) = H\bar{x}^*(t_i) \quad (17)$$

이다. 다음으로 (2)식의 스토크스틱 시스템에서 공정의 출력값은

$$z(t_i) = Hx(t_i) + V(t_i) \quad (18)$$

인데, 양변에 이동평균을 취하면, (18)식에서 가우시 백색 잡음의 평균은 영이므로

$$\bar{z}(t_i) = H\bar{x}(t_i) \quad (19)$$

를 얻을 수 있다.

여기에서 (19)식은 실제 공정의 출력값에 대한 이동평균이고, (17)식은 정상적인 공정의 이동평균이다. 이는 모든 센서에 고장이 없다면 같은 값이나, 센서에 고장 존재한다면 값은 같지 않을 것이다. 두 이동평균의 차를 $\bar{r}(t_i)$ 하면

$$\bar{r}_i = \bar{z}^*(t_i) - \bar{z}(t_i) \quad (20)$$

와 같고, 이를 분석하여 고장위치를 찾을 수 있다. (20)식에서의 모든 요소값이 ϵ (허용 오차)보다 적으면, 모든 센서는 정상동작을 한다고 감지하고, ϵ 범위를 벗어나면, 벗어난 \bar{r}_i 의 요소에 사용된 센서에 고장이 생겼다고 감지한다. 이는 공정에서 잘못 측정된 값만이 정상적인 공정의 출력값과 다르기 때문이다.

4. 시뮬레이션 결과 및 검토

제안된 방법을 다음과 같은 예제에 적용시켜 컴퓨터 시뮬레이션을 하였다.

$$A = \begin{bmatrix} 0.26 & 0.12 & 0.22 & 0.14 \\ 0.15 & 0.28 & 0.02 & 0.23 \\ 0.12 & 0.12 & 0.27 & 0.13 \\ 0.25 & 0.15 & 0.15 & 0.29 \end{bmatrix} \quad H = \begin{bmatrix} 1 & 0 & 1 & 1 \\ 0 & 1 & 1 & 1 \\ 1 & 1 & 0 & 1 \end{bmatrix}$$

앞절의 그림 2는 실제공정에서 H가

$$\begin{bmatrix} 0.5 & 0.0 & 0.5 & 0.5 \\ 0.0 & 1.0 & 1.0 & 1.0 \\ 1.0 & 1.0 & 0.0 & 1.0 \end{bmatrix}$$

로 변함에 따라 z_1 이 잘못 측정됨에 의해 r_1, r_2, r_3 가 모두 2σ 의 범위를 벗어나고 있음을 보이는 결과인데,

이것을 3장의 센서고장 판별방법으로 \bar{r}_1 값을 얻으면 그림 3과 같으며

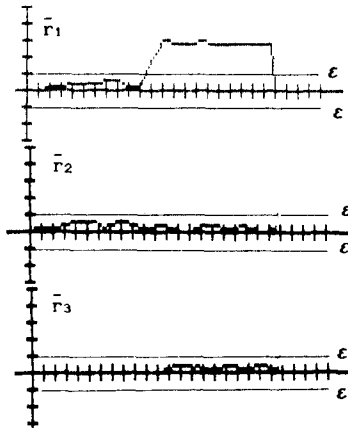


그림 3. z_1 의 값이 잘못 측정 되었을 경우

여기서 \bar{r}_1 의 값만이 ϵ 의 범위를 벗어남을 알 수 있다.

그림 4는 실제공정에서 H가

$$\begin{bmatrix} 0.5 & 0.0 & 0.5 & 0.5 \\ 0.0 & 0.5 & 0.5 & 0.5 \\ 1.0 & 1.0 & 0.0 & 1.0 \end{bmatrix}$$

로 변함에 따라 z_1, z_2 가 잘못 측정됨에 의해 나타나는 $r(t_i)$ 의 결과이다.

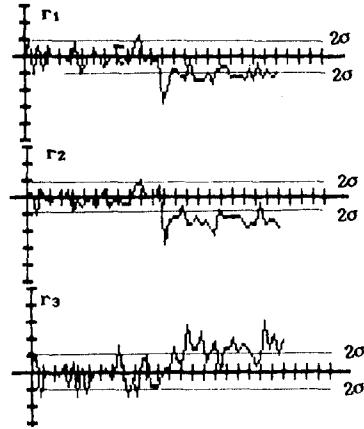


그림 4. z_1, z_2 의 값이 잘못 측정 되었을 경우

r_1, r_2, r_3 가 모두 2σ 의 범위를 벗어나고 있음을 보이고 있다. 이것을 3장의 센서 고장판별방법으로 \bar{r}_1 값을 얻으면

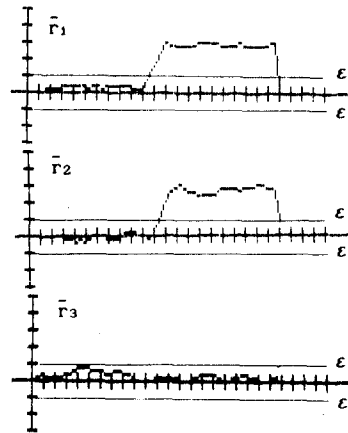


그림 5. z_1, z_2 의 값이 잘못 측정 되었을 경우

그림 5와 같이 \bar{r}_1, \bar{r}_2 의 값이 ϵ 의 범위를 벗어남을 알 수 있다.

그림 6은 실제공정의 H가

$$\begin{bmatrix} 1.0 & 0.0 & 1.0 & 1.0 \\ 0.0 & 1-0.05t & 1-0.05t & 1-0.05t \\ 1-0.05t & 1-0.05t & 0.0 & 1-0.05t \end{bmatrix}$$

로 변함에 따라 z_2, z_3 가 점차적으로 잘못 측정됨에 의해 나타나는 $r(t_i)$ 의 결과이다.

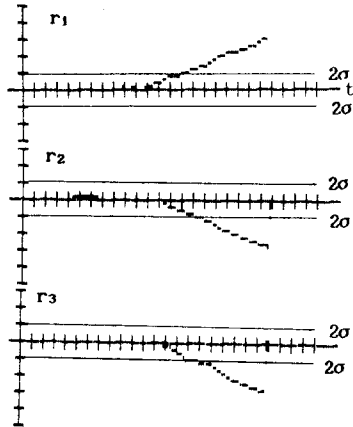


그림 6. z_2, z_3 의 값이 잘못 측정 되었을 경우

r_1, r_2, r_3 가 모두 2σ 의 범위를 벗어나고 있음을 보이고 있다. 이것을 3장의 센서 고장판별법으로 \bar{r}_1 값을 얻으면

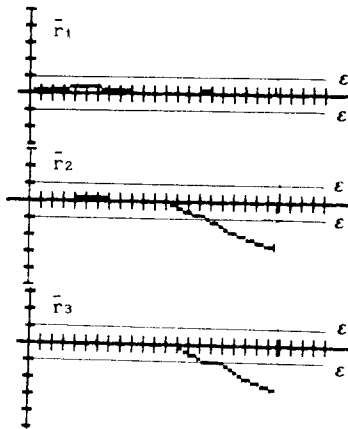


그림 7. z_2, z_3 의 값이 잘못 측정 되었을 경우

그림 7에서 보는 바와 같이 r_2, r_3 의 값이 ϵ 의 범위를 벗어남을 알 수 있다.

5. 결론

본 논문에서는 공정의 정상적인 출력값을 정의하고, 이것을 실제공정의 출력값과 비교하므로써 고장난 센서들을 알아 낼 수 있는 방법을 제안하였다.

이 방법은 2장에서 설명된 여분방법이 단지 센서의 고장 여부만을 판별하는데 비해 고장난 센서까지도 찾을 수 있다는 것을 시뮬레이션 결과로 보이고 있다. 또한 이 방법은 센서가 많이 사용되는 공정이나, 사람이 직접 각각의 센서들을 조사할 수 없는 경우에 특히 유용하리라 생각된다.

참고 문헌

- [1] J. J. Gertler, "Survey of Model-Based Failure Detection and Isolation in Complex Plants", vol. 8, No.6, pp.3-11, December, 1988
- [2] E. Y. Chow and A. S. Willsky, "Analytical Redundancy and The Design of Robust Failure Detection Systems", IEEE Trans.on Auto.Control, Vol. Ac-29, pp.603-614, July, 1984
- [3] P. S. Maybeck, Stochastic Models, Estimation and Control Volume1, Academic press, 1979
- [4] C. T. Chen, Linear System Theory and Design, Holt-Saunders International Edition, 1984
- [5] M. G. Singh, M. F. Hassan, Y. L. Chen and Q. R. Pan, "New Approach to Failure Detection in Large-Scale System", IEE proc., Vol.130, pp.243-249, September, 1983